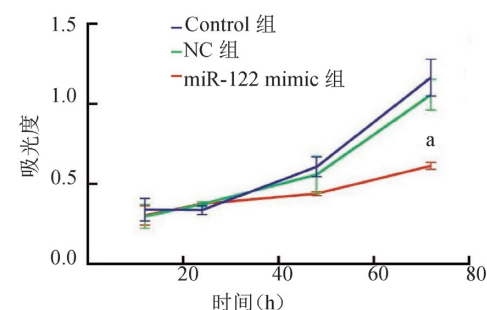


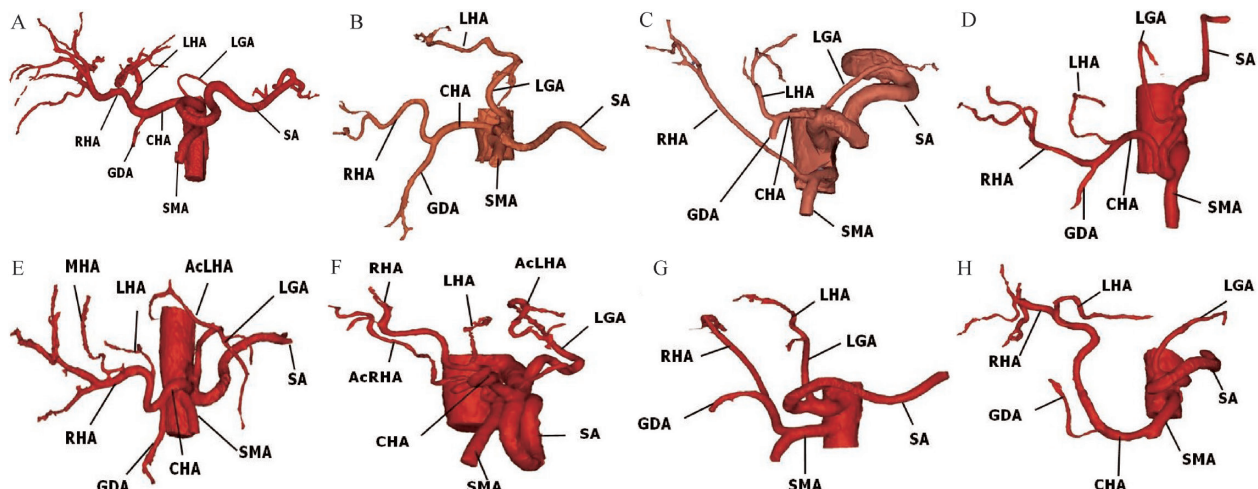
注:A 为 RT-PCR 结果条带图, B 为 RT-PCR 结果灰度分析统计图。与 NC 组比较,
 $aP < 0.05$

图 1 各组 CAL27 细胞 miR-122 表达水平情况



注:与 NC 组比较, $aP < 0.05$

图 2 各组 CAL27 细胞增殖能力情况



注:A 为 Michels I 型, 肝总动脉起源于腹腔干分出的胃十二指肠动脉及肝固有动脉, 肝固有动脉再分支为肝左、右动脉。B 为 II 型, 肝左动脉起源于胃左动脉。C 为 III 型, 肝右动脉起源于肠系膜上动脉。D 为 IV 型, 肝左动脉与肝右动脉变异同时存在。E 为 V 型, 肝左动脉起源于肝固有动脉, 副肝左动脉起源于胃左动脉。F 为 VII 型, 副肝左、右动脉。G 为肝右动脉起源于肝固有动脉, 副肝右动脉起源于肠系膜上动脉。H 为肝总动脉起源于肠系膜上动脉。LHA 为肝左动脉, RHA 为肝右动脉, MHA 为肝中动脉, GDA 为胃十二指肠动脉, CHA 为肝总动脉, SMA 为肠系膜上动脉, LGA 为胃左动脉, SA 为脾动脉, AcLHA 为副肝左动脉, AcRHA 为副肝右动脉

图 3 肝动脉的 3D 动脉模型

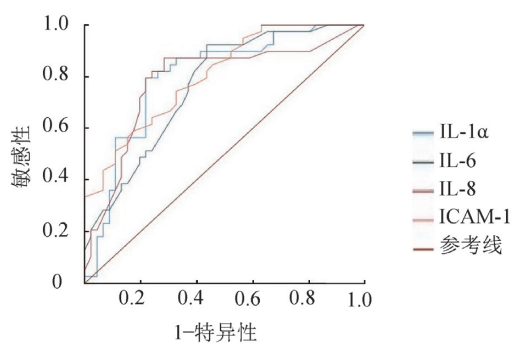


图 4 外周血炎症因子预测 aSAH 患者术后认知功能障碍的 ROC 曲线

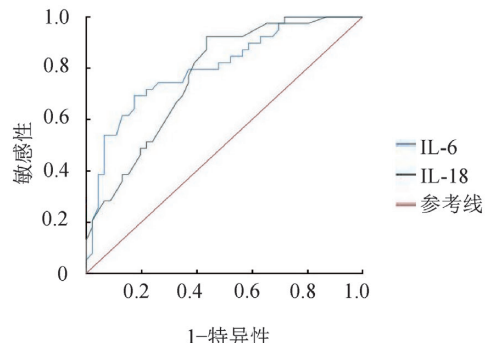


图 5 脑脊液炎症因子预测 aSAH 患者术后认知功能障碍的 ROC 曲线